УСПЕХИ ФИЗИЧЕСКИХ НАУК

МЕТОДИЧЕСКИЕ ЗАМЕТКИ

537.871

О СРЕДНЕЙ СИЛЕ РАДИАЦИОННОГО ТРЕНИЯ В КВАНТОВОЙ ЭЛЕКТРОДИНАМИКЕ

В. С. Кривицкий, В. Н. Цытович

(Институт общей физики АН СССР)

СОДЕРЖАНИЕ

1. Введение	125
2. Общие соотношения	127
3. Действующая на электрон в первом порядке теории возмущений сила: сила	
Лоренца и магнитный момент электрона	130
4. Сила радиационного трения	133
5. Заключение	140
Список литературы	141

1. Введение. Как известно, ускоренно движущийся заряд излучает электромагнитные волны, и вследствие этого на него действует дополнительная сила — так называемая сила реакции излучения, или сила радиационного трения. С ее учетом уравнение, описывающее движение заряда е (будем говорить для определенности об электроне) во внешних заданных электрическом Е и магнитном Н полях, имеет в нерелятивистском случае вид (см. [1, 2])

$$m\ddot{\mathbf{r}} = \mathbf{F_0} + \frac{2}{3}e^2\ddot{\mathbf{r}}, \quad \mathbf{F_0} = e\mathbf{E} + e\mathbf{v} \times \mathbf{H}$$
 (1)

(здесь и ниже всюду, где это особо не оговорено, используется система единиц, в которой скорость света c=1 и постоянная Планка $\hbar=1$).

Уравнением (1) можно пользоваться без риска получить «самоуско-ряющиеся» решения (или столкнуться с парадоксами, связанными с нарушением принципа причинности), когда второй член в (1) мал по сравнению с первым, представляющим собой силу Лоренца. Не останавливаясь на обсуждении этого момента, подробно разобранного в [1—3], отметим, что в случае, когда сила радиационного трения мала, ее учет в (1) можно проводить по теории возмущений, причем в первом приближении $m \hat{r} = \mathbf{F_0}$, а в следующем

$$m\ddot{\mathbf{r}} = \mathbf{F}_0 + \delta \mathbf{F}, \qquad \delta \mathbf{F} = \frac{2e^3}{3m} \stackrel{\bullet}{\mathbf{E}} + \frac{2e^4}{3m^2} \mathbf{E} \times \mathbf{H}.$$
 (2)

В общем релятивистском случае уравнение (2) принимает вид (см. [1])

$$m \frac{\mathrm{d}u^{\mu}}{\mathrm{d}s} = eF^{\mu\nu}u_{\nu} + \delta F^{\mu},$$

$$\delta F^{\mu} = \frac{2e^{3}}{3m} \frac{\partial F^{\mu\nu}}{\partial x^{\lambda}} u_{\nu}u^{\lambda} + \frac{2e^{4}}{3m^{2}} F_{\sigma\lambda}F^{\sigma\nu}u^{\lambda} (u_{\nu}u^{\mu} - \delta^{\mu}_{\nu}),$$
(3)

где $F^{\mu\nu}$ — тензор электромагнитного поля, u^{μ} — 4-скорость частицы, s — собственное время.

Уравнение (1) можно получить в рамках классической электродинамики, учитывая тот факт, что движущийся заряд создает собственное электромагнитное поле $\mathbf{E}_{_{\! s}}$ и $\mathbf{H}_{_{\! s}}$. Таким образом, уравнение движения заряда во внешних полях \mathbf{E} , \mathbf{H} приобретает вид

$$m\ddot{\mathbf{r}} = e\left(\mathbf{E} + \mathbf{E}_{\mathrm{s}}\right) + e\mathbf{v} \times (\mathbf{H}_{\mathrm{s}} + \mathbf{H}_{\mathrm{s}}).$$
 (4)

Выражая \mathbf{E}_{s} и \mathbf{H}_{s} через \mathbf{r} (t) с помощью классического выражения для запаздывающих потенциалов, после ряда несложных преобразований, включающих разложение по запаздыванию, можно привести (4) к виду (см. [2, 41)

$$m\ddot{\mathbf{r}} = \mathbf{F}_0 + \frac{2}{3} e^2 \ddot{\mathbf{r}} - \delta m\ddot{\mathbf{r}}. \tag{5}$$

Следует подчеркнуть, что для получения уравнения (5) необходимо провести в (4) разложение по запаздыванию (именно по малому параметру e^2/mc^3t). Поэтому, вообще говоря, даже выражение (1) для силы радиационного трения нельзя считать «абсолютно» точным.

Появление члена $\delta m r$ в (5) следует интерпретировать как возникновение у заряженной частицы «дополнительной» массы электромагнитного происхождения $\delta m \sim e^2/r_0c^2$ (r_0 — «радиус» частицы, на котором приходится проводить обрезание расходящихся интегралов) и необходимости проводить перенормировку массы уже в классической теории. Перенормировка сводится к тому, что суммарная масса $m + \delta m$ объявляется наблюдаемой массой частицы. Введение δm релятивистски-инвариантным образом провести затруднительно; а для точечной частицы ($r_0 = 0$) величина δm является функционалом \mathbf{r} (t). Переход к пределу $r_0 \to 0$ фактически делает необходимым квантовое рассмотрение движения частицы в заданном внешнем электромагнитном поле (на что редко обращается внимание). Действительно, классическая электродинамика становится логически противоречивой теорией при $r_0 \sim e^2/mc^2$ (классический радиус электрона), в то время как квантовые эффекты начинают играть роль уже при гораздо больших расстояниях — r порядка комптоновской длины волны \hbar/mc , что в $\hbar c/e^2 \approx 137$ раз больше классического радиуса электрона. Поэтому фактически вся проблема может быть решена только в квантовой теории. Необходимо также отметить, что последовательно и однозначно перенормировку можно провести также лишь в квантовой теории. Попытки проведения перенормировки в классической теории (см., например, [5]) сталкиваются с естественными трудностями: перенормировка массы зависит от характера движения частицы \mathbf{r} (t), и для того, чтобы удовлетворялись уравнения Максвелла, приходится вводить дополнительные фиктивные токи (см. [5]) вблизи заряда, зависящие от \mathbf{r} (t); процедура проведения классической перенормировки становится неоднозначной и т. д.

В соответствии с вышеизложенным естественно возникает следующая задача: попытаться получить выражение для радиационной силы трения (2) (или (3), что эквивалентно (2) в силу лоренц-инвариантности теории)

в квантовой электродинамике с помощью S-матрицы рассеяния и последующим переходом к классическому пределу. Решению этой задачи и посвящена настоящая работа.

При этом в отличие от предшествующих работ [4, 6] мы будем последовательно проводить процедуру усреднения по состояниям системы, наиболее близким к классическим (когерентным состояниям, если использовать представление Фарри во внешнем поле). Выяснено, что весьма существенны отклонения от таких средних, т. е. флуктуации. Это решает вопросы, связанные с самоускоряющимися решениями (1). Самоускорение в (1) возникает на временном интервале $\Delta t \sim e^2/mc^3$, который в $e^2/\hbar c$ меньше \hbar/mc^2 — характерного времени квантовых флуктуаций.

Отметим, что в рамках настоящего рассмотрения сила радиационного трения будет получена по теории возмущений, что предполагает ее малость по сравнению с силой Лоренца \mathbf{F}_0 в (1). Анализ вопроса о применимости выражений (2), (3), когда $\mathbf{F}_0 = 0$, и связанные с ним проблемы «самоускоряющихся» решений, нарушения принципа причинности и выполнения законов сохранения импульса, энергии и момента импульса (им уделено достаточно большое внимание в литературе; см., например, [2—4]) остаются за границами настоящего рассмотрения.

Следует отметить, что в литературе неоднократно предпринимались попытки получения силы реакции излучения в форме (1) в квантовой электродинамике непертурбативными методами (см., например, [4, 6]), а также цитируемую в обзоре [3] литературу). Идеологически эти попытки были близки к методу получения уравнения (1) в классической электродинамике. Однако проблемы, возникающие при таком подходе в связи с необходимостью проведения перенормировки, не удается разрешить корректным образом. Имеющийся корректный способ проведения перенормировки в квантовой электродинамике основан на применении инвариантной теории возмущений и устранении расходимостей из S-матрицы, разложенной в ряд по степеням константы взаимодействия е. Ответ на вопрос, как корректно вывести (1) в квантовой теории непертурбативными методами (и возможно ли это), остается открытым; в связи с этим все наше дальнейшее изложение будет построено на использовании S-матрицы. Мы только обращаем внимание на необходимость учета квантовых флуктуаций и, следовательно, бессодержательность усредненных уравнений на малых временных интервалах.

2. Общие соотношения. Будем считать 4-вектор потенциала внешнего поля $\varphi^{\mu}(t, \mathbf{r})$, в котором движется электрон, равным

$$\varphi^{\mu}(t, \mathbf{r}) = \int dq^{0} d\mathbf{q} \varphi^{\mu}(q^{\nu}) \exp(i\mathbf{q}\mathbf{r} - iq^{0}t), \qquad (6)$$

заданным и неквантованным, т. е. представляющим собой c-число (греческие индексы μ , ν , . . . пробегают значения 0, 1, 2, 3; 4-вектора $q^{\nu}=(q^0,\mathbf{q}),\, \phi^{\mu}=(\phi^0,\phi),\, \ldots$; используется метрика $g_{\mu\nu}$, в которой $g_{\theta\theta}=1,\, g_{0i}=0,\, g_{ij}=-\delta_{ij}$, где индексы $i,\, j,\, \ldots$ пробегают значения 1, 2, 3 (или $x,\, y,\, z$), а δ_{ij} — символ Кронекера). Напряженность этого поля будем предполагать малой по сравнению

Напряженность этого поля будем предполагать малой по сравнению с величиной $m^2/e(=m^2c^3/e\hbar)$, при которой необходим учет возможности рождения внешним полем пар. Помимо поля ϕ^{μ} существует квантованное поле \hat{A}^{μ} , взаимодействие с которым отвечает возможности испускания и поглощения электроном фотона и приводит к радиационным поправкам. Оператор поля μ \hat{A} дается (в используемой ниже трехмерно-поперечной

калибровке) выражением

$$\hat{\mathbf{A}}^{\circ} = 0,$$

$$\hat{\mathbf{A}}(t, \mathbf{r}) = \sum_{\mathbf{k}, \alpha} \left(\frac{4\pi}{2|\mathbf{k}|}\right)^{1/2} \left[\hat{c}_{\mathbf{k}\alpha} e_{\mathbf{k}\alpha} \exp\left(i\mathbf{k}\mathbf{r} - i|\mathbf{k}|t\right) + \hat{c}_{\mathbf{k}\alpha}^{+} e_{\mathbf{k}\alpha}^{*} \exp\left(-i\mathbf{k}\mathbf{r} + i|\mathbf{k}|t\right)\right],$$

$$(7)$$

где нормировочный объем V положен равным единице; индекс α отвечает различным поляризациям фотона и пробегает значения 1, 2; $\hat{c}_{\mathbf{k}\alpha}$ и $\hat{c}_{\mathbf{k}\alpha}^{\dagger}$ являются операторами уничтожения и рождения фотона с импульсом к и поляризацией α ; вектор $\mathbf{e}_{\mathbf{k}\alpha}$ есть единичный вектор поляризации: $\mathbf{k} \cdot \mathbf{e}_{\mathbf{k}\alpha} = 0$, $|\mathbf{e}_{\mathbf{k}\alpha}| = 1$. Выражение (7) нормировано «на одну частицу в объеме V = 1».

Аналогичное выражение можно записать и для операторов полевых функций электрон-позитронного поля $\psi_a(t, \mathbf{r})$:

$$\hat{\Psi}_{a}(t,\mathbf{r}) = \sum_{\mathbf{p}\sigma} \frac{1}{(2\varepsilon_{\mathbf{p}})^{\frac{1}{2}}} \left[\hat{a}_{\mathbf{p}\sigma} u_{\mathbf{p}\sigma a}^{(+)} \exp\left(i\mathbf{p}\mathbf{r}_{\mathbf{q}}^{\dagger} - i\varepsilon_{\mathbf{p}}t\right)_{\mathbf{q}}^{\mathbf{r}} + \hat{b}_{\mathbf{p}\sigma}^{\dagger} u_{-\mathbf{p}-\sigma a}^{(-)} \exp\left(-i\mathbf{p}\mathbf{r} + i\varepsilon_{\mathbf{p}}t\right) \right], \tag{8}$$

где a — спинорный индекс, пробегающий значения 1, 2, 3, 4 (в дальнейшем часто опускаемый); о нумерует поляризационные состояния и пробегает значения $\pm 1/2$; $\varepsilon_{\mathbf{p}} = (\mathbf{p}^2 + m^2)^{1/2}$; \hat{a} — оператор уничтожения электрона, \hat{b}^+ — оператор рождения позитрона. Спинорные амплитуды $u^{(\pm)}$ нормированы инвариантным условием: $\bar{u}_{\pm p\pm\sigma}^{(\pm)}u_{\pm p\pm\sigma}^{(\pm)}=\pm 2m$. Временная эволюция системы описывается S-матрицей:

$$|\Phi(t_2)\rangle = \hat{S}(t_2, t_1) |\Phi(t_1)\rangle, \tag{9}$$

$$\widehat{S}(t_2, t_1) = T \exp\left(i \int_{t_1}^{t_2} \widehat{\mathbf{d}t} \widehat{\mathcal{L}}(t)\right), \tag{9}$$

где | $\Phi(t)$ — вектор состояния в момент времени t, а S-матрица является хронологической экспонентой от лагранжиана взаимодействия, равного

$$\hat{\mathcal{L}}(t) = \hat{\mathcal{L}}_{\varphi}(t) + \hat{\mathcal{L}}_{A}(t) = -\int d\mathbf{r} \hat{j}_{\mu}(t, \mathbf{r}) \left(\varphi^{\mu}(t, \mathbf{r}) + \hat{A}^{\mu}(t, \mathbf{r}) \right),$$

$$\hat{j}^{\mu}(t, \mathbf{r}) = e : \hat{\overline{\psi}}(t, \mathbf{r}) \gamma^{\mu} \hat{\psi}(t, \mathbf{r}):,$$
(10)

где i^{μ} представляет 4-вектор тока, а символ :...: означает нормальное произведение операторов, в котором все операторы рождения стоят левее всех операторов уничтожения. В дальнейшем нам неоднократно потребуются формулы для суммирования по поляризациям:

$$\sum_{\alpha} e^{i}_{\mathbf{k}\alpha} e^{j}_{\mathbf{k}\alpha} = \delta^{ij} - \mathbf{k}^{i} k^{j} \mathbf{k}^{-2}, \tag{11}$$

$$\sum_{\sigma} u_{\mathbf{p}\sigma a}^{(\pm)} \bar{u}_{\mathbf{p}\sigma b}^{(\pm)} = \Lambda_{\mathbf{p}ab}^{\pm}, \qquad \Lambda_{\mathbf{p}}^{\pm} = \gamma^{0} \varepsilon_{\mathbf{p}} + \gamma \mathbf{p} \pm m. \tag{12}$$

Сила, действующая на электроны, является производной по времени от импульса электрона, причем последний дается средним значением от оператора

$$\hat{\mathbf{p}} = \hat{\mathbf{P}} - e\mathbf{\phi} - e\hat{\mathbf{A}},\tag{13}$$

где первое слагаемое в (13) представляет собой обобщенный импульс, равный

$$\hat{\mathbf{P}}^{i} = \int d\mathbf{r} \hat{T}^{i_0}, \qquad \hat{T}^{\mu\nu} = \frac{i}{2} : \left[\hat{\overline{\psi}} \gamma^{\mu} \frac{\partial \hat{\psi}}{\partial x_{\nu}} - \frac{\partial \hat{\overline{\psi}}}{\partial x_{\nu}} \gamma^{\mu} \hat{\psi} \right] :. \tag{14}$$

В последнем выражении $T^{\mu\nu}$ — тензор энергии-импульса электрон-позитронного поля. Подставив (8) в (14), найдем, что

$$\hat{\mathbf{P}} = \sum_{\mathbf{p}\sigma} \mathbf{p} \left(\hat{a}_{\mathbf{p}\sigma}^{\dagger} \hat{a}_{\mathbf{p}\sigma} + \hat{b}_{\mathbf{p}\sigma}^{\dagger} \hat{b}_{\mathbf{p}\sigma} \right). \tag{15}$$

Для перехода к классическому пределу нам потребуется усреднять по состояниям, «наиболее близким к классическому состоянию электрона». Эти состояния представляют собой волновые пакеты

$$||\Phi(\mathbf{p}_{0}; \mathbf{r}_{0}; \sigma)\rangle| = \sum_{\mathbf{p}} c(\mathbf{p}) ||\mathbf{p}\sigma\rangle| = \int \frac{d\mathbf{p}}{(2\pi)^{3}} c(\mathbf{p}) ||\mathbf{p}\sigma\rangle,$$

$$c(\mathbf{p}) = (4\pi\lambda)^{3/4} \exp\left[-\frac{\lambda}{2} (\mathbf{p} - \mathbf{p}_{0})^{2} - i(\mathbf{p} - \mathbf{p}_{0}) \mathbf{r}_{0}\right]$$
(16)

(мы перешли в (16) от суммирования по импульсам к интегрированию); в состоянии $|\Phi(\mathbf{p_0}; \mathbf{r_0}; \sigma)\rangle$ электрон характеризуется поляризацией σ , средним значением импульса $\mathbf{p_0}$ и средним значением координаты $\mathbf{r_0}$; $|\mathbf{p}\sigma\rangle$ — состояние с импульсом \mathbf{p} и поляризацией σ ; в (16) имеется нефиксированный параметр λ , характеризующий средний разброс импульса и координаты:

$$\delta \mathbf{r} = \mathbf{r} - \mathbf{j} \mathbf{r}_{0}, \ \delta \mathbf{p} = \mathbf{p} - \mathbf{p}_{0},$$

$$\langle (\delta \mathbf{p})^{2} \rangle = \langle \Phi \mid (\delta \mathbf{p})^{2} \mid \Phi \rangle = \frac{3}{2\lambda},$$

$$\langle (\delta \mathbf{r})^{2} \rangle = \frac{3\lambda}{2}.$$
(17)

В (16) амплитуды c (p) нормированы условием

$$\sum_{\mathbf{p}} c(\mathbf{p}) \stackrel{*}{c}(\mathbf{p}) = 1.$$

Волновые пакеты (16) минимизируют среднее значение $\langle (\delta p)^2 \rangle^{1/2} \langle (\delta r)^2 \rangle^{1/2}$, которое для (16) принимает значение (для каждой из трех координат): $\langle (\delta p_x)^2 \rangle^{1/2} \langle (\delta x)^2 \rangle^{1/2} = 1/2$ (= $\hbar/2$). (Мы учитываем как поле ϕ^μ , так и поле \hat{A}^μ по теории возмущений. Если бы вместо этого мы учитывали поле \hat{A}^μ по теории возмущений, а внешнее поле ϕ^μ учитывали бы точно (при этом для построения S-матрицы вместо представления взаимодействия следовало бы использовать представление Фарри), то вместо (16) нужно было бы усреднять по когерентным состояниям электрона во внешнем поле ϕ^μ .)

В дальнейшем (см. ниже) при вычислении силы, действующей на электрон, в формулах будут фигурировать квадратичные комбинации $\overset{*}{c}(\mathbf{p}') c(\mathbf{p})$ и $u_{\mathbf{p}\sigma}^{(+)} \bar{u}_{\mathbf{p}'\sigma}^{(+)}$, играющие роль матрицы плотности начального состояния электрона. Введем поэтому в рассмотрение матрицы

$$M_{ab}(\mathbf{p}, \mathbf{p}'; \sigma) = u_{\mathbf{p}\sigma a}^{(+)} \bar{u}_{\mathbf{p}'\sigma b}^{(+)}, \tag{18}$$

$$M_{ab}(\mathbf{p}, \mathbf{p}') = \frac{1}{2} \sum_{\sigma} M_{ab}(\mathbf{p}, \mathbf{p}'; \sigma), \tag{19}$$

которые будут играть роль матрицы плотности для поляризованного с поляризацией σ и неполяризованного состояний соответственно. Переписывая четырехкомпонентные спиноры через нерелятивистские двухкомпонентные спиноры w:

$$u_{\mathbf{p}\sigma}^{(+)} = \begin{pmatrix} (\varepsilon_{\mathbf{p}} + m)^{1/2} w_{\sigma} \\ (\varepsilon_{\mathbf{p}} - m)^{1/2} w_{\sigma} \frac{\mathbf{p}^{\sigma}}{p} \end{pmatrix}, \qquad \overset{*}{w_{\sigma}} w_{\sigma} = 1, \tag{20}$$

где σ в (20) — матрицы Паули, и выбирая для w базис в виде

$$w_{\sigma_z+1} = \left\| \begin{array}{c} 1 \\ 0 \end{array} \right\|, \qquad w_{\sigma_z-1} = \left\| \begin{array}{c} 0 \\ 1 \end{array} \right\|,$$

можно выписать явные выражения для матриц (18), (19). Отметим, что $M(\mathbf{p}, \mathbf{p}) = -\Lambda_{\mathbf{p}}^{+}/2$.

3. Действующая на электрон в первом порядке теории возмущений сила: сила Лоренца и магнитный момент электрона. Силу \mathbf{F} (t), действующую на электрон, определим как

$$\mathbf{F}(t) = \frac{\mathrm{d}}{\mathrm{d}t} \langle \Phi(t) | (\mathbf{\hat{P}} - e\mathbf{\varphi} - e\mathbf{\hat{A}}) | \Phi(t) \rangle =$$

$$= \frac{\mathrm{d}}{\mathrm{d}t} \langle \Phi_0 | \mathbf{\hat{S}}^+ (\mathbf{\hat{P}} - e\mathbf{\varphi} - e\mathbf{\hat{A}}) \hat{s} | \Phi_0 \rangle, \quad (21)$$

в котором начальное состояние $|\Phi_0\rangle$ будет выбираться в виде волнового пакета (16).

В первом порядке по константе взаимодействия e можно не рассматривать квантованное поле $\hat{\mathbf{A}}$, поскольку в вакуумных (с точки зрения фотонного поля) обкладках $|\Phi_0\rangle$: $\langle\Phi_0|\hat{c}|\Phi_0\rangle = \langle\Phi_0|\hat{c}^+|\Phi_0\rangle = 0$, и, следовательно, $\langle\Phi_0|\hat{\mathbf{A}}|\Phi_0\rangle = 0$. Отличным от нуля может быть лишь вакуумное среднее от квадратичной комбинации $\langle\Phi_0|\hat{\mathbf{A}}\hat{\mathbf{A}}|\Phi_0\rangle$, что имеет более высокий порядок по e, поскольку в формулы (10), (21) поле $\hat{\mathbf{A}}$ входит в виде произведения $e\hat{\mathbf{A}}$.

С учетом одного лишь поля φ^{μ} имеем, согласно (21), с точностью до членов порядка o (e):

$$\mathbf{F}(t) = \frac{\mathrm{d}}{\mathrm{d}t} \left\langle \Phi_0 \left| \left(1 - i \int_{\cdot}^{t} \mathrm{d}t_1 \hat{\mathcal{L}}_{\varphi}(t_1) \right) (\hat{\mathbf{P}} - e\varphi) \left(1 + i \int_{\cdot}^{t} \mathrm{d}t_2 \hat{\mathcal{L}}_{\varphi}(t_2) \right) \right| \Phi_0 \right\rangle. \tag{22}$$

Производя в (22) дифференцирование по времени и собирая лишь члены, линейные по е, получим

$$\mathbf{F}(t) = \left\langle \Phi_0 \middle| i \left[\mathbf{\hat{P}}, \hat{\mathcal{L}}_{\varphi}(t) \right] - e \frac{\mathrm{d}\varphi}{\mathrm{d}t} \middle| \Phi_0 \right\rangle, \tag{23}$$

где $[\mathbf{\hat{P}}, \mathcal{\hat{Z}}] = \mathbf{\hat{P}}\mathcal{\hat{Z}} - \mathcal{\hat{Z}}\mathbf{\hat{P}}$ есть коммутатор операторов.

Отметим, что вклад от слагаемого ($-e\varphi$) в силе (21) следует учитывать лишь в первом порядке по e. В самом деле, поскольку φ_{μ} есть с-число, φ_{μ} коммутирует с \hat{S} ; следовательно,

$$\begin{split} \frac{\mathrm{d}}{\mathrm{d}t} \left\langle \Phi_0 \,\middle|\, \hat{S}^+ \left(-e \right) \phi \hat{S} \,\middle|\, \Phi_0 \right\rangle &= \, \frac{\mathrm{d}}{\mathrm{d}t} \left\langle \Phi_0 \,\middle|\, \hat{S}^+ \hat{S} \left(-e \right) \phi \,\middle|\, \Phi_0 \right\rangle &= \\ &= -e \left\langle \Phi_0 \,\middle|\, \frac{\mathrm{d}\phi}{\mathrm{d}t} \,\middle|\, \Phi_0 \right\rangle, \end{split}$$

так как S-матрица унитарна: $\hat{S}^+\hat{S}=1$.

Подставив (6), (8)—(10), (15), (16) в (23), найдем, что первое слагаемое в (23) сводится к

$$\langle \Phi_{0} | i \left[\hat{\mathbf{P}}, \hat{\mathcal{L}}_{\varphi}(t) \right] | \Phi_{0} \rangle = -ie \int dq^{0} dq \phi_{\mu} (q^{0}, \mathbf{q}) \sum_{\mathbf{p}} c \left(\mathbf{p} \right) c^{*} \left(\mathbf{p} + \mathbf{q} \right) \times \frac{1}{2(\varepsilon_{\mathbf{p}} \varepsilon_{\mathbf{p} + \mathbf{q}})^{1/2}} \mathbf{q} \exp \left[i \left(\varepsilon_{\mathbf{p} + \mathbf{q}} - \varepsilon_{\mathbf{p}} - q^{0} \right) t \right] \operatorname{Tr} \left(M \left[(\mathbf{p}, \mathbf{p} + \mathbf{q}) \gamma^{\mu} \right)$$
(24)

как в случае неполяризованной M, так и в случае поляризованного начального состояния $|\Phi_0\rangle$.

Будем считать теперь переданный . импульс **q** малым по сравнению с **p** и *m*. Тогда, согласно (16), c (**p**) $\overset{*}{c}$ (**p** + **q**) \approx c (**p**) c (**p**) $e^{i\mathbf{q}\mathbf{r}_0}$ с точностью до членов порядка **q**; $1/\epsilon_{\mathbf{p}}\epsilon_{\mathbf{p}+\mathbf{q}}\approx 1/\epsilon_{\mathbf{p}}^2$; $\exp [i(\epsilon_{\mathbf{p}+\mathbf{q}}-\epsilon_{\mathbf{p}}-q^0)t]\approx$ $\approx \exp [i(\mathbf{q}\mathbf{v}-q^0)t]$, $\operatorname{Tr}(M(\mathbf{p},\mathbf{p}+\mathbf{q})\gamma^{\mu})\approx \operatorname{Tr}(M(\mathbf{p},\mathbf{p})\gamma^{\mu})=2p^{\mu}=2(\epsilon_{\mathbf{p}},\mathbf{p})=2\epsilon_{\mathbf{p}}(1,\mathbf{v})$. Поэтому (24) переходит в

$$\langle \Phi_{0} | i \left[\hat{\mathbf{P}}, \hat{\mathcal{L}}_{\varphi}(t) \right] | \Phi_{0} \rangle = -ie \int dq^{0} d\mathbf{q} \sum_{\mathbf{p}} c_{i}(\mathbf{p}) \stackrel{*}{c}(\mathbf{p}) \mathbf{q} \exp \left\{ i \left[\mathbf{q} (\mathbf{r}_{0} + \mathbf{v}t) - q^{0}t \right] \right\} \times \\ \times (\varphi^{0} (q^{0}, \mathbf{q}) - \mathbf{v}\varphi (q^{0}, \mathbf{q})) = -e \sum_{\mathbf{p}} c_{i}(\mathbf{p}) \stackrel{*}{c}(\mathbf{p}) \left(\frac{\partial \varphi^{0}(t, \mathbf{r}_{0} + \mathbf{v}t)}{\partial \mathbf{r}} - \frac{\partial \varphi_{i}(t, \mathbf{r}_{0} + \mathbf{v}t)}{\partial \mathbf{r}} \right), \tag{25}$$

поскольку при обратном преобразовании Фурье по пространственным компонентам величины ϕ^{μ} (t, \mathbf{r}) домножению на $i\mathbf{q}$ соответствует оператор дифференцирования $\partial/\partial \mathbf{r}$ (a ($-iq^0$) аналогично переходит в $\partial/\partial t$).

Сумма по импульсам в (25) фактически отвечает усреднению по импульсам в пакете (16). После суммирования по импульсам в согласии с (16) имеем

$$\langle \Phi_0 | i \left[\mathbf{\hat{P}}, \mathcal{L}_{\varphi}(t) \right] | \Phi_0 \rangle = -e \left(\frac{\partial \varphi^0 (t, \mathbf{r}_0 + \mathbf{v}_0 t)}{\partial \mathbf{r}} - v_i \frac{\partial \varphi_i (t, \mathbf{r}_0 + \mathbf{v} t)}{\partial \mathbf{r}} \right), \tag{26}$$

где $v_0 = p_0/\epsilon_{p_0}$ — средняя скорость в состоянии (16).

Второе слагаемое в (23) имеет вид (индекс 0 у ${\bf r_0}$ и ${\bf v_0}$ для краткости опускаем)

$$\langle \Phi_0 | (-e) \frac{d\varphi}{dt} | \Phi_0 \rangle = -e \left(\frac{\partial}{\partial t} + \mathbf{v} \frac{\partial}{\partial \mathbf{r}} \right) \varphi(t, \mathbf{r} + \mathbf{v}t).$$
 (27)

Собирая результаты (26) и (27), имеем

$$\mathbf{F}(t) = e \left\{ \mathbf{E}(t, \mathbf{r}_0 + \mathbf{v}_0 t) + \mathbf{v}_0 \times \mathbf{H}(t, \mathbf{r}_0 + \mathbf{v}_0 t) \right\},$$

$$\mathbf{E} = -\frac{\partial \varphi}{\partial \mathbf{r}} - \frac{\partial \varphi}{\partial t}, \qquad \mathbf{H} = \operatorname{rot} \varphi,$$
(28)

что соответствует силе Лоренца, действующей на частицу при движении во внешних электрическом Е и магнитном Н полях.

Произведем теперь более точное разложение выражения (24) по переданному импульсу \mathbf{q} с точностью до членов порядка \mathbf{q}^2 . Для простоты будем исследовать возникающую при этом дополнительную действующую на электрон силу $\Delta \mathbf{F}$ в системе отсчета, связанной с движущимся электроном, т. е. в которой $\mathbf{v}_0 = 0$.

ном, т. е. в которой $\mathbf{v}_0 = 0$. Перед тем как разлагать выражение (24) по \mathbf{q} , необходимо сделать следующее замечание. В выражении (24) нужно разлагать по \mathbf{q} величины, зависящие от ($\mathbf{p} + \mathbf{q}$) (например, $\varepsilon_{\mathbf{p}+\mathbf{q}}$ и т. д.). В то же время нетрудно

видеть, что характерная величина $\delta p \sim \lambda^{-1/2}$ (согласно (17)) много больше ${\bf q}$, что создает определенные трудности в разложении по ${\bf q}$. В самом деле, сила, действующая на частицу, определяется не самими потенциалами ${\bf \phi}^{\mu}$, а их градиентами. Для того чтобы частица «чувствовала» эти градиенты, необходимо, чтобы характерное пространственное «размытие» ${\bf \delta r} \sim \lambda^{1/2}$ частицы было много меньше «характерной длины изменения потенциалов ${\bf \phi}^{\mu}$ », т. е. ${\bf q}^{-1}$. В силу того, что ${\bf \delta p} \cdot {\bf \delta r} \sim 1$, условие $\lambda^{1/2} \sim {\bf \delta r} \ll q^{-1}$ эквивалентно $\lambda^{-1/2} \sim {\bf \delta p} \gg q$. (Отметим, что одновременно с этим условием нам для перехода к классическому пределу потребовалось также считать ${\bf \delta p} \ll m$, что позволяет параметру λ лежать в интервале $m^{-2} \ll \lambda \ll q^{-2}$.)

Итак, нам нужно разлагать по q величины, зависящие от $(\mathbf{p} + \mathbf{q})$, в которых неопределенность первого слагаемого в аргументе $\delta p \gg q$. Несложные рассуждения показывают, что удобнее всего производить эта разложение не «в точке \mathbf{p} », а «в точке $\mathbf{f} = \mathbf{p} + (\mathbf{q}/2)$ », когда имеется некоторая симметрия выражения (24), зависящего лишь от комбинаций $\mathbf{f} + (\mathbf{q}/2)$ и $\mathbf{f} - (\mathbf{q}/2)$. Действительно, на основе уравнения (16) $(\mathbf{p}_0 = 0)$ имеем для первого способа вычисления

$$c(\mathbf{p}) \stackrel{*}{c}(\mathbf{p} + \mathbf{q}) = c(\mathbf{p}) \stackrel{*}{c}(\mathbf{p}) e^{i\mathbf{q}\mathbf{r_0}} \exp\left[-\frac{1}{2}\lambda\left(\mathbf{p}\mathbf{q} + \frac{\mathbf{q}^2}{2}\right)\right], \tag{29}$$

а для второго способа

$$c\left(\mathbf{f} - \frac{\mathbf{q}}{2}\right) \overset{*}{c}\left(\mathbf{f} + \frac{\mathbf{q}}{2}\right) = c\left(\mathbf{f}\right) \overset{*}{c}\left(\mathbf{f}\right) e^{i\mathbf{q}\mathbf{r}} e^{-\lambda \mathbf{q}^{2}/2}.$$
(30)

(В предыдущем изложении нам было достаточно более грубой оценки этого выражения в виде $c = (i \mathbf{q} \mathbf{r}_0)$ с заменой последнего множителя в (29), (30) единицей, так что вопрос об отличии (29) от (30) не возникал.) В выражении (29) в последнем множителе фигурирует \mathbf{p} , что создает определенные сложности при последующем усреднении по импульсам (происходящем при взятии сумм $\sum_{\mathbf{p}} c(\mathbf{p}) = (\mathbf{p}) \cdot (\mathbf{p}) \times \ldots$), в то время как в (30) последний множитель не зависит от \mathbf{f} и не влияет на процедуру усреднения по импульсам \mathbf{f} . Поэтому здесь и в следующем разделе мы будем пользоваться вторым способом разложения с использованием выражения (30). В соответствии с вышеизложенным при этом становится возможным сначала произвести в переписанной в новых терминах (через \mathbf{f}) формуле (24) усреднение по \mathbf{f} , сводящееся к замене на $\langle \mathbf{f} \rangle = 0$ (напомним, что мы вычисляем $\Delta \mathbf{F}$ в системе отсчета, движущейся вместе с электроном), а потом разлагать полученное выражение по \mathbf{q} до членов порядка \mathbf{q}^2 . Выполняя намеченную программу, имеем

$$\langle \Phi_{0} | i \left[\hat{\mathbf{P}}, \hat{\mathcal{L}}_{\Phi}(t) \right] | \Phi_{0} \rangle = -ie \int dq^{0} d\mathbf{q} \phi_{\mu} \left(q^{0}, \mathbf{q} \right) e^{i\mathbf{q}\mathbf{r}_{0}} e^{-\lambda \mathbf{q}^{2}/2},$$

$$\frac{1}{\left(4\varepsilon_{\mathbf{q}/2}^{2}\right)^{\frac{1}{2}}} \mathbf{q} \exp \left[i \left(\varepsilon_{\mathbf{q}/2} - \varepsilon_{\mathbf{q}/2} - q^{0} \right) t \right] \operatorname{Tr} \left(M \left(-\frac{\mathbf{q}}{2}, \frac{\mathbf{q}}{2} \right) \gamma^{\mu} \right) \approx$$

$$\approx -ie \int dq^{0} d\mathbf{q} \phi_{\mu} \left(q^{0}, \mathbf{q} \right) \exp \left(i\mathbf{q}\mathbf{r}_{0} - iq^{0}t \right) \frac{\mathbf{q}}{2m} \operatorname{Tr} \left(M \left(-\frac{\mathbf{q}}{2}, \frac{\mathbf{q}}{2} \right) \gamma^{\mu} \right),$$
(31)

поскольку

$$\varepsilon_{\mathbf{q}/2} = \varepsilon_{-\mathbf{q}/2} = m + \frac{(\mathbf{q}/2)^2}{2m} + \ldots = m + o(q).$$

С нужной степенью точности имеем ${\rm Tr}~(M\gamma^0)=2m+o~(q)$ (это соответствует найденной ранее силе Лоренца). Для неполяризованного состояния M имеем ${\rm Tr}~(M\gamma)=0+o~(q)$, а для поляризованного M со средним значением спина s имеем ${\rm Tr}(M\gamma)=-2i{\bf q}\times {\bf s}+o~(q)$. Таким образом (${\bf \epsilon}^{ijk}$ — полностью антисимметричный тензор),

$$\Delta F^{i} = \frac{e}{m} \int dq^{0} dq \varphi^{j} (q^{0}, \mathbf{q}) \exp(i\mathbf{q}\mathbf{r}_{0} - iq^{0}t) q^{i} \varepsilon^{jlm} q^{l} s^{m}, \tag{32}$$

т. е. при переходе от $i\mathbf{q}$ к $\partial/\partial \mathbf{r}$:

$$\Delta \mathbf{F} = \operatorname{grad}(\mu \mathbf{H}), \quad \mathbf{H} = \operatorname{rot} \varphi, \ \mu = \frac{e}{m} \mathbf{s}.$$
 (33)

Полученный результат показывает, что в неполяризованном состоянии $\Delta \mathbf{F} = 0$, а в поляризованном состоянии электрон обладает магнитным моментом $\mu = \frac{e}{m} s = \frac{e}{2m} \left(= \frac{e\hbar}{2mc} \right)$ в обычных единицах

Завершая рассмотрение силы (21) в первом порядке по е, дадим удобную графическую интерпретацию полученным результатам. Пусть сплош-

ная линия отвечает электрону, штриховая — внешнему полю. Обозначая символически первое слагаемое в (13) в виде 1, а второе — в виде ¦ и разлагая S-матрицу в ряд (рис. 1), можно записать (23) в виде суммы трех членов (рис. 2).

4. Сила радиационного трения. Разлагая S-матрицу в ряд по константе электромагнитного взаимодействия e (см. рис. 1, на котором квантовому полю \hat{A}^{μ} отвечает волнистая линия):

$$\hat{S}(t) \equiv \hat{S}(t, -\infty) = 1 + i \int_{-\infty}^{t} dt_1 \hat{\mathcal{L}}_{\varphi}(t_1) + i \int_{-\infty}^{t} dt_1 \hat{\mathcal{L}}_{A}(t_1) - \int_{-\infty}^{t} dt_1 \int_{-\infty}^{t_1} dt_2 \hat{\mathcal{L}}_{\varphi}(t_1) \hat{\mathcal{L}}_{A}(t_2) - \int_{-\infty}^{t} dt_1 \int_{-\infty}^{t_1} dt_2 \hat{\mathcal{L}}_{A}(t_1) \hat{\mathcal{L}}_{\varphi}(t_2) + \dots, \quad (34)$$

можно получить выражения для следующих членов разложения силы (21) в ряда по степеням e. (Квантованное поле \hat{A}^{μ} «включается» в (34) в момент $t=-\infty$, т. е. существует всегда, и для простоты будем адиабатически «включать» внешнее поле φ^{μ} также в момент $t=-\infty$). Члены, отвечающие силе радиационного трения, возникают в третьем ($\sim e^3$) и более высоких порядках по e. Классический предел первых двух членов силы радиационного трения ($\sim e^3$ и e^4) дается выражениями (2), (3). Поставим поэтому перед собой задачу получить первое слагаемое в (2), (3), соответст-

вующее порядку e^3 , с помощью развитых выше методов (аналогичным образом можно получить и член e^4).

Строго говоря, перед тем как анализировать возникающее в третьем порядке по e выражение для силы, действующей на электрон, мы должны исследовать член $\mathbf{F}^{(2)}$ порядка e^2 , также присутствующий в разложении выражения (21). Априори понятно, что такой член второго порядка по e может возникнуть лишь в квантовой теории (т. е. он должен обращаться в нуль при $\hbar \to 0$). Действительно, из соображений размерности становится ясно, что этот член может иметь вид (в обычных единицах)

$$\mathbf{F}^{(2)} = \operatorname{const} \cdot \frac{e^2 \hbar}{m^2 c^3} \mathbf{E} \times \mathbf{H} \left(\frac{\hbar q^0}{m c^2} \right)^n \tag{35}$$

(n- целое число), где последний множитель соответствует возможной зависимости $\mathbf{F}^{(2)}$ не от самих полей \mathbf{E} , \mathbf{H} , но от их временных производных (как в уравнении (2)). Легко видеть, что при $\hbar \to 0$ выражение (35) стремится к нулю. Точный расчет приводит к следующему результату: $\mathbf{F}^{(2)}$ строго равно нулю, если частица не удовлетворяет условию черенковского резонанса во внешнем поле (см. также ниже).

Заметим предварительно, что в силу релятивистской инвариантности S-матрицы удобнее всего исследовать получаемые выражения в системе отсчета, связанной с движущимся электроном (аналогично тому, как это делалось в конце предыдущего раздела). Это не ограничивает общность нашего рассмотрения, поскольку потенциал внешнего поля φ^{μ} выбирается совершенно произвольным и его калибровка никак не фиксируется. Релятивистскую инвариантность проще всего восстановить уже в конечном результате, после того как будет получено выражение для силы радиационного трения $\delta \mathbf{F}$ в системе отсчета, в которой средняя скорость в волновом пакете в (16) $\mathbf{v}_{\alpha}=0$.

Отметим еще, что из вида (2) нам заранее известно, что разложение по переданному импульсу q^{μ} нужно будет осуществлять до квадратичных **п**о q^{μ} членов, в то время как для получения силы Лоренца достаточно было ограничиться линейными по q^{μ} выражениями; а также в соответствии с ожидаемым результатом (2), (3) не будем учитывать в разложении (34) члены более высоких, чем первая, степеней по внешнему полю ϕ^{μ} .

Итак, разложим в (21) S-матрицу до членов порядка e^3 включительно и соберем вместе члены, имеющие третий порядок по e (напомним отмеченное в предыдущем разделе обстоятельство, что в связи с тем, что ϕ^{μ} есть с-число и коммутирует с S-матрицей, в (21) уже не нужно учитывать член (— $e\phi$) в суммарном импульсе электрона). Рассмотрим для наглядности возникающие при этом слагаемые δF графически.

Исследуем вначале вклад δF_P , возникающий от первого слагаемого (т. е. \hat{P}) в (21). При этом в третьем порядке в δF_P возникают члены двух типов. Слагаемым первого типа соответствует случай, когда \hat{S} (или \hat{S}^+) представлена в (21) членом порядка e^3 в разложении (34), а \hat{S}^+ (или соответственно S) представлена единицей. На рис. 3 показана половина таких слагаемых, когда $\hat{S} \sim e^3$ и $\hat{S}^+ = 1$ (исключая несвязные диаграммы).

Диаграммы на рис. 3 содержат петли, что показывает необходимость проведения перенормировки при вычислении данных вкладов. Фактически же нет необходимости вычислять явно эти члены, подставляя (6)—(10) в (34) и затем в (21). Видно, что учет членов рис. 3 по сравнению с первым порядком (см. рис. 2) сводится к необходимости замены пропагаторов электромагнитного и электрон-позитронного полей и вершинного оператора на соответствующие перенормированные выраже-

ния. Производя вычитание расходимостей на массовой поверхности, получаем (см. [7, 8]), что внешние электронные линии на первой и второй диаграммах на рис. 2 не нуждаются в перенормировке, а вместо ϕ_{u} , отвечающего линии внешнего фотонного поля на рис. 2, и вершинного оператора у в формулу (24) следует подставлять соответственно

$$\varphi_{\mu}(q) \rightarrow \varphi_{\mu}(q) + \frac{1}{4\pi} \mathcal{D}_{\mu\nu}(q) \mathcal{P}^{\nu\lambda}(q) \varphi_{\lambda}(q),$$
(36)

$$\gamma^{\mu} \to \gamma^{\mu} f(q^2) - \frac{1}{2m} g(q^2) \frac{\gamma^{\mu} \gamma^{\nu} - \gamma^{\nu} \gamma^{\mu}}{2} q_{\nu},$$
(37)

где $q=q^{\mu}$, $q^{z}=q_{\mu}q^{\mu}$; и в исследуемом порядке по e с нужной степенью точности при малых $|q^{2}| \ll m^{2}$: поляризационный оператор $\mathcal{P}_{\mu\nu}(q)=\mathcal{P}(q^{2})[q_{\mu\nu}-(q_{\mu}q_{\nu}/q^{2})]$, $\mathcal{P}(q^{2})\approx -e^{2}q^{4}/(15\pi m^{2})$; фотонный пропагатор $\mathcal{D}_{\mu\nu}(q)=\mathcal{D}(q^{2})[g_{\mu\nu}-(q_{\mu}q_{\nu}/q^{2})]+\mathcal{D}^{(1)}(q^{2})(q_{\mu}q_{\nu}/q^{2})$, $\mathcal{D}(q^{2})\approx 4\pi/q^{2}$;

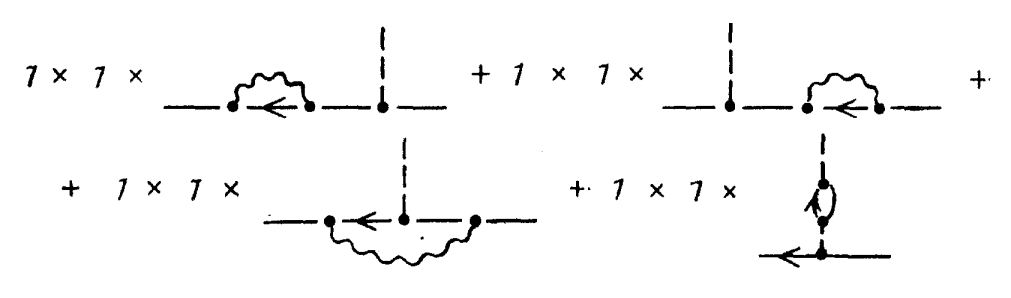


Рис. 3

формфакторы $f\left(q^2\right) pprox 1 \,+\, (e^2q^2/3\pi m^2) \cdot [\ln\,\left(m/\lambda\right) \,-\, (3/8)], \quad g\left(q^2\right) pprox e^2/2\pi)$ $(\lambda -$ бесконечно малая масса, приписываемая фотону для регуляризации расходящейся в инфракрасном пределе функции f). Подставляя это в (24) и оставляя в (24) после разложения по q члены со степенями не выше второй, получаем, что в (36) нет необходимости учитывать радиационные поправки к $\varphi_{ii}(q)$, а в (37) достаточно положить $f(q^2) = 1$, оставив лишь радиационную поправку $g(q^2)$. После ряда несложных преобразований, полностью аналогичных проделанным в п. 3, можно найти, что вклад в $\delta \mathbf{F}_P$ от (36), (37) (т. е. в конечном счете от диаграмм рис. 3) для неполяризованного состояния электрона равен нулю, а для поляризованного состояния указанная поправка приводит к появлению поправки Швингера к магнитному моменту электрона: момент электрона оказывается равным

$$\mu = \frac{e}{2m} \left(1 + \frac{e^2}{2\pi} \right) = \frac{e\hbar}{2mc} \left(1 + \frac{e^2}{2\pi\hbar c} \right)$$

Второй тип вкладов, возникающих в δF_P , соответствует тому, что от \hat{S}^+ (или \hat{S}) в (21) входит член порядка e, а от \hat{S} (соответственно \hat{S}^+) — член порядка e^2 . Эти диаграммы не со-

учитывать диаграмму типа рис.4, отвечающую массовому оператору, не нужно). Типичные представители этого второго типа вкладов изображены на рис. 5.

Нетрудно видеть, что такие вклады в (21) вообще не нужно рассматривать. В самом деле, в (21) как состояние $\langle \Phi_0 | \hat{S}^+$, так и состояние $\hat{S} | \Phi_0 \rangle$ должно соответствовать какому-либо реальному состоянию электромагнитного и электрон-позитронного полей. В каждом из вкладов рис. 5 одна из диаграмм (отвечающая \hat{s}^+ или \hat{s}) описывает процесс, запрещенный законом сохранения 4-импульса: так, первая диаграмма на рис. 5 представляет процесс излучения свободным электроном фотона и т. д.

Резюмируя, можно сказать, что учет в третьем порядке первого члена $(\mathbf{\hat{P}})$ в (13) привел к необходимости проведения перенормировки, после которой все радиационные поправки свелись к аномальному магнитному моменту электрона.

Нетрудно понять, почему сила радиационного трения не могла возникнуть от слагаемого $\hat{\mathbf{P}}$ в (21). В самом деле, сила радиационного трения описывает дополнительную «отдачу», которую испытывает электрон, излучающий фотон, под действием внешнего поля. Но в диаграммах типа рис. 3 фотон является промежуточным, виртуальным, и отсутствует в конечном состоянии; в диаграммах же типа рис. 5 реальный фотон может присутствовать в конечном состоянии $\hat{\mathbf{S}} \mid \Phi_0 \rangle$, но такие процессы запрещены законом сохранения 4-импульса. Обратимся теперь к вкладам $\delta \mathbf{F}_A$, возникающим в $\delta \mathbf{F}$ от третьего члена $-e\hat{\mathbf{A}}$ в (21) (графически изображаемого волнистой линией). Как и при учете члена $\hat{\mathbf{P}}$, при подстановке (34) в (21) возникают вклады двух видов — типа изображенных на рис. 6 и типа изображенных на рис. 7.

Процессы, соответствующие рис. 6, запрещены законом сохранения 4-импульса; следовательно, сила радиационного трения может возникнуть лишь от вкладов типа диаграмм на рис. 7, к изучению которых мы и перейдем.

Выпишем в явном виде результат подстановки (34) в (21), соответствующий рис. 7. Возникающая в третьем порядке по e сила $\delta \mathbf{F}_A = \delta \mathbf{F}_1 + \delta \mathbf{F}_2$, причем

$$\delta \mathbf{F}_{1} = e \left\langle \Phi_{0} \middle| \int_{-\infty}^{t} dt_{1} \int_{-\infty}^{t_{1}} dt_{2} \left(\hat{\mathbf{A}}(t) \hat{\mathcal{L}}_{\varphi}(t_{1}) \hat{\mathcal{L}}_{A}(t_{2}) + \hat{\mathcal{L}}_{A}(t_{2}) \hat{\mathcal{L}}_{\varphi}(t_{1}) \dot{\mathbf{A}}(t) + \right. \\ \left. + \hat{\mathbf{A}}(t) \, \hat{\mathcal{L}}_{A}(t_{1}) \, \hat{\mathcal{L}}_{\varphi}(t_{2}) + \hat{\mathcal{L}}_{\varphi}(t_{2}) \hat{\mathcal{L}}_{A}(t_{1}) \, \dot{\mathbf{A}}(t) \middle| \Phi_{0} \right\rangle, \tag{38}$$

$$\delta \mathbf{F}_{2} = e \left\langle \Phi_{0} \middle| \int_{-\infty}^{t} dt_{1} \left(\hat{\mathbf{A}}(t) \middle| \hat{\mathcal{L}}_{\varphi} \middle| (t) \hat{\mathcal{L}}_{A}(t_{1}) + \hat{\mathcal{L}}_{A}(t_{1}) \, \hat{\mathcal{L}}_{\varphi}(t) \, \hat{\mathbf{A}}(t) + \right. \\ \left. + \hat{\mathbf{A}}(t) \, \hat{\mathcal{L}}_{A}(t) \, \hat{\mathcal{L}}_{\varphi}(t_{1}) + \hat{\mathcal{L}}_{\varphi}(t_{1}) \, \hat{\mathcal{L}}_{A}(t) \, \hat{\mathbf{A}}(t) \middle| \Phi_{0} \right\rangle. \tag{39}$$

Подставляя в (38), (39) выражения для лагранжианов и опуская промежуточные громоздкие выкладки, находим (без учета несвязных диа-

грамм типа рис. 8):

$$\begin{split} \delta F_{1}^{i} &= e^{3} \int \!\! \mathrm{d}q^{0} \mathrm{d}q \phi_{\mu} \left(q^{0}, \mathbf{q} \right) \sum_{\mathbf{p}, \mathbf{k}} c \left(\mathbf{p} \right) c^{*} \left(\mathbf{p} + \mathbf{q} - \mathbf{k} \right) \frac{4\pi \left(\delta^{ij} - k^{i}k^{j}/k^{2} \right)}{8k \left(\varepsilon_{\mathbf{p} + \mathbf{q} - \mathbf{k}} \mathbf{e}_{\mathbf{p}} \right)^{1/2}} \times \\ &\times \exp \left[i k \mathbf{r}_{0} + i \left(\varepsilon_{\mathbf{p} + \mathbf{q} - \mathbf{k}} - \varepsilon_{\mathbf{p}} - q^{0} \right) t \right] \times \\ &\times \left\{ \frac{-ik}{i \left(\varepsilon_{\mathbf{p} + \mathbf{q} - \mathbf{k}} - \varepsilon_{\mathbf{p} - \mathbf{k}} - q_{0} - i0 \right) i \left(\varepsilon_{\mathbf{p} + \mathbf{q} - \mathbf{k}} - \varepsilon_{\mathbf{p}} + k - q_{0} - i0 \right)}{i \left(\varepsilon_{\mathbf{p} + \mathbf{q} - \mathbf{k}} - \varepsilon_{\mathbf{p}} - k - q_{0} - i0 \right)} \right] + \\ &+ \frac{-ik}{i \left(\varepsilon_{\mathbf{p} + \mathbf{q} - \mathbf{k}} - \varepsilon_{\mathbf{p} - \mathbf{k}} - q_{0} - i0 \right) i \left(\varepsilon_{\mathbf{p} + \mathbf{q} - \mathbf{k}} - \varepsilon_{\mathbf{p}} - k - q_{0} - i0 \right)} \right] + \\ &+ \frac{-ik}{i \left(\varepsilon_{\mathbf{p} + \mathbf{q} - \mathbf{k}} - \varepsilon_{\mathbf{p} - \mathbf{k}} - q_{0} - i0 \right) i \left(\varepsilon_{\mathbf{p} + \mathbf{q} - \mathbf{k}} - \varepsilon_{\mathbf{p}} - k - q_{0} - i0 \right)} \right] + \\ &+ \frac{-ik}{i \left(\varepsilon_{\mathbf{p} + \mathbf{q} - \mathbf{k}} - \varepsilon_{\mathbf{p} + \mathbf{k}} - k \right) i \left(\varepsilon_{\mathbf{p} + \mathbf{q} - \mathbf{k}} - \varepsilon_{\mathbf{p}} - k - q_{0} - i0 \right)} + \\ &+ \frac{-ik}{i \left(\varepsilon_{\mathbf{p} + \mathbf{q}} - \varepsilon_{\mathbf{p}} - q_{0} - i0 \right) i \left(\varepsilon_{\mathbf{p} + \mathbf{q} - \mathbf{k}} - \varepsilon_{\mathbf{p}} - k - q_{0} - i0 \right)} \right] - \\ &- \frac{-Tr \left(M \left(\mathbf{p}, \mathbf{p} + \mathbf{q} - \mathbf{k} \right) \gamma^{\mu} \Lambda_{\mathbf{p} + \mathbf{q}}^{\gamma_{j}} \right)}{\varepsilon_{\mathbf{p} + \mathbf{q}}} \times \\ &\times \left[\frac{-ik}{i \left(\varepsilon_{\mathbf{p} + \mathbf{q}} + \varepsilon_{\mathbf{p} + \mathbf{q} + k} + k \right) i \left(\varepsilon_{\mathbf{p} + \mathbf{q} - \mathbf{k}} - \varepsilon_{\mathbf{p}} - k - q_{0} - i0 \right)} + \\ &+ \frac{-ik}{i \left(\varepsilon_{\mathbf{p} + \mathbf{q}} + \varepsilon_{\mathbf{p} + \mathbf{q} + k} + k \right) i \left(\varepsilon_{\mathbf{p} + \mathbf{q} - k} - \varepsilon_{\mathbf{p}} - k - q_{0} - i0 \right)} \right] - \\ &- \frac{Tr \left(M \left(\mathbf{p}, \mathbf{p} + \mathbf{q} - \mathbf{k} \right) \gamma_{j} \Lambda_{\mathbf{p} - \mathbf{k}}^{\gamma_{j}} \right)}{\varepsilon_{\mathbf{p} - \mathbf{k}}} \times \\ &\times \left[\frac{-it \left(\varepsilon_{\mathbf{p} + \varepsilon_{\mathbf{p} + \mathbf{k}} + k \right) i \left(\varepsilon_{\mathbf{p} + \mathbf{q} - k} - \varepsilon_{\mathbf{p}} - k - q_{0} - i0 \right)}{\varepsilon_{\mathbf{p} - \mathbf{k}}} \right] - \\ &- \frac{-ik}{i \left(\varepsilon_{\mathbf{p} - \mathbf{k}} + \varepsilon_{\mathbf{p} + \mathbf{k}} - k \right) i \left(\varepsilon_{\mathbf{p} + \mathbf{q} - k} - \varepsilon_{\mathbf{p}} - k - q_{0} - i0 \right)} \right]} \right\}, \quad (40) \\ &+ \frac{ik}{i \left(\varepsilon_{\mathbf{p} - \mathbf{k}} + \varepsilon_{\mathbf{p} + \mathbf{k}} - k \right) i \left(\varepsilon_{\mathbf{p} - \mathbf{k}} - \varepsilon_{\mathbf{p}} - k - q_{0} - i0 \right)} \right]} \\ &+ \frac{Tr \left(M \left(\mathbf{p}, \mathbf{p} + \mathbf{q} - \mathbf{k} \right) \gamma_{\mathbf{p} - \mathbf{k}}^{\mu} \right)}{\left(\varepsilon_{\mathbf{p} - \mathbf{k}} - \varepsilon_{\mathbf{p}$$

Первые два слагаемых в $\delta \mathbf{F}_1$ (40) соответствуют случаю, когда виртуальная частица на диаграмме на рис. 7 является электроном: послед-

ние два слагаемых отвечают виртуальному по зитрону. В выражении (41) для δF_2 выписаны $\tau = 0$ х ние два слагаемых отвечают виртуальному потолько электронные вклады, а соответствующие позитронные заменены многоточием (поскольку в дальнейшем $\delta \mathbf{F}_2$ нам не понадобится).

Можно показать, что четность подынтегральных выражений в (40), (41) приводит к тому, что вклад от вещественных частей энергетических знаменателей Re $1/(E-i0) = \mathcal{P}(1/E)$ равен нулю. В силу этого возникает

необходимость учитывать мнимые части $\operatorname{Im} \frac{1}{E-i0} = \pi \delta(E)$ (знак мнимой добавки в знаменателях (40), (41) выбирается в соответствии с принципом причинности). В связи с этим необходимо отметить, что фактически достаточно приписывать мнимую добавку только к частоте внешнего поля: $q^0 \to q^0 + i0$. Знаменатели же, не содержащие q^0 (например, $\varepsilon_{\mathbf{p}-\mathbf{k}} - \varepsilon_{\mathbf{p}} + k$), никогда не обращаются в нуль (вследствие невозможности излучения свободным электроном фотона), и поэтому их мнимые части равны нулю.

Рассмотрим подробнее, какие резонансы могут описывать знаменатели выражений (40), (41). Резонансы типа $\varepsilon_{\mathbf{p}-\mathbf{k}}-\varepsilon_{\mathbf{p}}+k=0$ исключаются законом сохранения 4-импульса, как уже было упомянуто выше. Анализ остальных возможных резонансов удобнее всего проводить в системе отсчета, связанной с движущимся электроном. В этой системе $p=\delta p \ll m, q \ll m$; как будет показано ниже, k имеет тот же порядок, что и q^0 , поэтому и $k \ll m$. В первом приближении поэтому $\varepsilon_{\mathbf{x}} \approx m$ при любом аргументе \mathbf{x} (принимающем значения \mathbf{p} , $\mathbf{p}-\mathbf{k}$, $\mathbf{p}+\mathbf{q}$, $\mathbf{p}+\mathbf{q}-\mathbf{k}$). Поэтому резонансы типа $\varepsilon_{\mathbf{p}+\mathbf{q}-\mathbf{k}}-\varepsilon_{\mathbf{p}}+k-q^0=0$ сводятся в этом приближении к условию $k=q^0$, что с физической точки зрения оказывается совершенно естественным: электрон колеблется во внешнем поле, имеющем частоту q^0 , и излучает при этом фотон с той же частотой $k=q^0$. Такие резонансы возникают в знаменателях выражения (40), и, как мы увидим ниже, (40) действительно описывает силу радиационного трения.

Знаменатели типа $\varepsilon_{\mathbf{p}+\mathbf{q}} - \varepsilon_{\mathbf{p}} - q^0 = 0$, имеющиеся как в (40), так и в (41), приводят к черепковскому условию $\mathbf{q}\mathbf{v} - q^0 = 0$, когда частица непрерывно ускоряется внешним полем $\phi^{\mu}(q)$. В данном случае мы не интересуемся этим процессом, не имеющим отношения к реакции излучения на движущийся заряд, поэтому исключим такие резонансы из рассмотрения (можно считать, что поле $\phi^{\mu}(q)$ не удовлетворяет условию черенковского резонанса).

Вышеизложенные рассуждения показывают, что сила радиационного трения содержится лишь в выражении (40). Перейдем теперь в (40) к классическому пределу, используя для c (\mathbf{p}) уравнение (16) и разлагая (40) по степеням q до второго порядка включительно. Разложение, как и в п. 3 при вычислении магнитного момента электрона, следует проводить после замены $\mathbf{p} = \mathbf{f} - [(\mathbf{q} - \mathbf{k})/2]$, положив затем $\mathbf{f} = 0$ (индекс 0 у величины \mathbf{r}_0 далее опускаем).

Проведем вначале анализ выражения (40) для неполяризованной M из (19).

Рассмотрим в (40) отдельно вклады от скалярного φ^0 и векторного φ потенциалов. При $\varphi^\mu = \varphi^0$ имеем с нужной степенью точности: ${\rm Tr} \ | M \ (-(\mathbf{q}-\mathbf{k})/2), \ (\mathbf{q}-\mathbf{k})/2) \ \gamma^0 \Lambda^+_{-(\mathbf{q}+\mathbf{k})/2)} \gamma_j] = 2mq_j + o \ (k; \ q); \ {\rm Tr} \ [M \ (-(\mathbf{q}-\mathbf{k})/2), \ (\mathbf{q}-\mathbf{k})/2) \ \gamma_j \Lambda^+_{(\mathbf{q}+\mathbf{k})/2} \gamma^0] = -2mq_j + o \ (k; \ q); \ \epsilon_{(\mathbf{q}-\mathbf{k})/2} = m + o \ (k; \ q) = \epsilon_{(\mathbf{k}+\mathbf{q})/2}; \$ и, следовательно, вклад $\delta F_1^{({\rm scal}\cdot{\rm el})}$ от скалярного потенциала в электронных членах в (40) составит

$$\begin{split} \delta F_{1}^{i\,(\text{scal}\cdot\text{el})} &= e^{3} \int \mathrm{d}q^{0} \mathrm{d}\mathbf{q}\phi^{0}\,(q^{0},\mathbf{q}) \int \frac{\mathrm{d}\mathbf{k}}{(2\pi)^{3}} \times \\ &\times \exp\left[i\,(\mathbf{q}-\mathbf{k})\mathbf{r}_{0}\right] \frac{4\pi}{8km} \left(\delta^{i}\,-\frac{k^{i}k^{i}}{k^{2}}\right) \exp\left(i\mathbf{k}\mathbf{r}_{0}-iq_{0}t\right) \times \\ &\times \left\{ \frac{-2mq_{j}}{m} \left[\frac{(-ik)\,i\pi\delta\,(k-q^{0})}{iki} + \frac{iki\pi\delta\,(k+q^{0})}{i\,(-q_{0})\,i}\right] + \\ &\quad + \frac{2mq_{j}}{m} \left[\frac{iki\pi\delta\,(k+q^{0})}{i\,(-k)\,i} + \frac{(-ik)\,i\pi\delta\,(k-q^{0})}{i\,(-q_{0})\,i}\right] \right\} . \end{split} \tag{42}$$

Суммирование по **f** выполнено аналогично тому, как это было проделано в п. 3; \sum заменено на $\int d\mathbf{k}/(2\pi)^3$. Вычисляя

$$\int d\mathbf{n} \left(\delta^{ij} - n^i n^j\right) = \frac{8\pi}{3} \delta^{ij}$$

(где | n | = 1 и интегрирование проводится по единичной сфере),

$$\int\limits_0^{+\infty} k^2 \mathrm{d}k \left[\delta \left(k - q^0
ight) + \delta \left(k + q^0
ight)
ight] = (q^0)^2$$

(как при $q^0 \geqslant 0$, так и при $q^0 < 0$), учитывая также $q_j = -q^j$, имеем, согласно (42),

$$\delta \mathbf{F}_{1}^{(\text{scal} \cdot \text{el})} = -\frac{2e^{3}}{3m} \int dq^{0} d\mathbf{q} q^{0} \mathbf{q} \phi^{0} (q^{0}, \mathbf{q}) \exp (i\mathbf{q}\mathbf{r}_{0} - iq^{0}t) =$$

$$= -\frac{2e^{3}}{3m} \frac{\partial^{2} \phi^{0} (t, \mathbf{r})}{\partial t \partial \mathbf{r}}. \tag{43}$$

Вклад же $\delta \mathbf{F}_1^{(\text{scal}\cdot\text{pos})}$ позитронных членов при $\phi^{\mu}=\phi^0$ с той же степенью точности обращается в нуль, поскольку вместо малых k или q^0 в знаменателях (40) фигурируют величины, равные 2m+o (1), а числители в том же приближении:

$$\operatorname{Tr}\left[M\left(-\frac{1}{2}\left(\mathbf{q}-\mathbf{k}\right), \frac{1}{2}\left(\mathbf{q}-\mathbf{k}\right)\right)\gamma^{0}\Lambda_{\left(\mathbf{k}+\mathbf{q}\right)/2}^{-}\gamma_{j}\right] = \operatorname{Tr}\left[\frac{m\left(\gamma^{0}+1\right)}{2}\gamma^{0}m\left(\gamma^{0}-1\right)\gamma_{j}\right] = 0 + o\left(1\right).$$

Вклад в (40), связанный с векторным потенциалом φ , также удобно разбить на электронные и позитронные составляющие $\delta F_1^{(\text{vect-el})}$ и $\delta F_1^{(\text{vect-el})}$. В том же приближении, в котором подсчитано (42), можно найти, что $\text{Tr}\left[M\gamma_l\Lambda^-\gamma_j\right]=4m^2\delta_{jl}+o$ (1) = $\text{Tr}\left[M\gamma_j\Lambda^-\gamma_l\right]$, $\text{Tr}\left[M\gamma_l\Lambda^+\gamma_j\right]=0+o$ (k;q), откуда $\delta F_1^{(\text{vect-el})}=0$, а

$$\delta F_{1}^{i \, (\text{vect-pos})} = -e^{3} \int dq^{0} dq \varphi^{l} (q^{0}, \mathbf{q}) \int \frac{d\mathbf{k}}{(2\pi)^{3}} \exp\left[i \, (\mathbf{q} - \mathbf{k}) \mathbf{r}_{0}\right] \times \\ \times \frac{4\pi}{8km} \left(\delta^{i} - \frac{k^{i}k^{j}}{\mathbf{k}^{2}}\right) \exp\left(i \mathbf{k} \mathbf{r}_{0} - iq_{0}t\right) \times \\ \times \left\{\frac{4m^{2}\delta_{jl}}{m} \left[\frac{(-ik) \, i\pi\delta \, (k - q^{0})}{i \cdot 2mi} + \frac{iki\pi\delta \, (k + q^{0})}{(-i) \cdot 2mi}\right] + \\ + \frac{4m^{2}\delta_{jl}}{m} \left[\frac{iki\pi\delta \, (k + q^{0})}{(-i) \cdot 2mi} + \frac{(-ik) \, i\pi\delta \, (k - q^{0})}{i \cdot 2mi}\right]\right\} = \\ = \frac{2e^{3}}{3m} \int dq^{0} dq \exp\left(i\mathbf{q}\mathbf{r}_{0} - iq^{0}t\right) \left(q^{0}\right)^{2} \varphi^{i} (q^{0}, \mathbf{q}) = -\frac{2e^{3}}{3m} \frac{\partial^{2} \varphi^{i} (t, \mathbf{r})}{\partial t^{2}}. \tag{44}$$

Собирая вместе (43) и (44), получаем

$$\delta \mathbf{F}_{1} = \frac{2e^{3}}{3m} \frac{\partial}{\partial t} \left(-\frac{\partial \varphi^{0}}{\partial \mathbf{r}} - \frac{\partial \varphi}{\partial t} \right) = \frac{2e^{3}}{3m} \frac{\partial \mathbf{E}}{\partial t} , \qquad (45)$$

совпадающее с классическим выражением (2) для силы радиационного трения.

Теперь, после того как получен результат (45), можно восстановить релятивистскую инвариантность полученного выражения для реакции излучения на движущийся заряд. Релятивистски-инвариантная формула, соответствующая (45), имеет вид $\delta F^{\mu} = (2e^3/3m) \left(\partial F^{\mu\nu}/\partial x^{\lambda}\right) u_{\nu}u^{\lambda}$, где $F_{\mu\nu} = \partial \varphi_{\nu}/\partial x^{\mu} - \partial \varphi_{\mu}/\partial x^{\nu}$, что совпадает, естественно, с первым членом в (3).

Нетрудно проверить, что использование поляризованного состояния (18) вместо неполяризованного (19) при анализе силы радиационного трения (40) приведет к тем же результатам (43)—(45). Так и должно быть, поскольку в исследуемом приближении—третий порядок по е, первый порядок по внешнему полю и максимальная степень производных внешнего поля — первая (что при квантовом рассмотрении отвечает квадратичным по переданному импульсу выражениям),—в классической электродинамике появление у частицы магнитного момента также не приводит к возникновению новых членов в силе радиационного трения, и действующая на частицу сила реакции излучения дается в этом приближении тем же выражением (первый член в (2)), что и для заряженной частицы без магнитного момента.

Не вдаваясь в детальные расчеты, отметим здесь, что следующий член в разложении (40) по степеням q имел бы по отношению к (43) — (45) относительный порядок малости $\sim q^2 \lambda \ll 1$ (напомним, что $\lambda \sim$ $\sim \langle (\delta p)^2 \rangle^{-1} \sim \langle (\delta r)^2 \rangle$). После обратного преобразования Фурье этот член привел бы к появлению в правой части (45) дополнительного слагаемого вида const· (e^3/m) $\langle (\delta r)^2 \rangle E$. Действительно, такое слагаемое в (45) отвечает первому, отличному от нуля члену в разложении силы радиационного трения по степеням «малого параметра» ($\delta r \cdot \partial/\partial t$) (отдельно в каждом порядке по е). Подобный результат возникает и в классической электродинамике при рассмотрении силы реакции излучения в случае протяженной заряженной частицы с «характерным радиусом» L. В таких условиях вместо «обычного» выражения $(2/3)e^2\mathbf{r}$ в правой части (5) возникает бесконечный ряд $(2/3)e^2(\mathbf{r} - (2/3)L\mathbf{r} + (1/3)L^2\mathbf{r} - \dots)$ (см. [4]), что также есть разложение по степеням ($L\partial/\partial t$). В [4] этот ряд был суммирован; при этом уравнение, описывающее движение протяженной заряженной частицы, становилось дифференциально-разностным.

5. Заключение. Проведенный анализ показывает, что с помощью стандартных методов теории возмущений в квантовой электродинамике можно получить выражение для радиационной силы в третьем порядке по e, соответствующее первому члену в (2), (3). Аналогичным образом с помощью развитых методов можно вывести выражение для действующей на электрон силы в следующем порядке e^4 (которое, естественно, должно соответствовать последней части (2), (3)), а также радиационные поправки более высоких порядков.

Отметим наконец, что все предыдущее рассмотрение было основано на спинорной электродинамике; таким образом, справедливость результата (45) доказана лишь для частиц со спином s=1/2. Но естественно ожидать, что классический предел выражения для силы реакции излучения не должен зависеть от спина частицы. Действительно, для скалярной частицы со спином s=0 можно развить соответствующую технику, которая оказывается аналогичной вышеизложенным методам. Единственное отличие состоит в том, что лагранжиан скалярного поля квадратичен по оператору 4-импульса $P_{\mu}=i\partial_{\mu}$, в то время как лагранжиан спинорного поля линеен по P_{μ} . При включении калибровочного взаимодействия с внешним электромагнитным полем это обстоятельство приводит к появлению диаграммы со сходящимися в одной вершине четырьмя внешними линиями (две линии соответствуют заряженной частице, а две линии — электромагнитному полю — A_{μ} или ϕ_{μ}) в дополнение к диаграммам на рис. 1, дающим разложение S-матрицы. Таким образом, при ис-

следовании силы радиационного трения мы должны теперь рассматривать, кроме диаграммы на рис. 7, еще одну диаграмму, содержащую одну штриховую и одну волнистую линии (рис. 9). В том же приближении, в котором мы проводили вычисления выше, можно найти, что для скаляр-

ной частицы вклад диаграммы на рис. 7 сводится к (43), вклад новой диаграммы на рис. 9 равен выражению (44), и, таким образом, их сумма равна (45). Итак, классический предел выражения для силы реакции излучения, действующей на скалярную и спинорную частицы, совпадает.

Рис. 9

Авторы выражают глубокую признательность В. Л. Гинзбургу за интерес к работе, критические замечания и полезные обсуждения проблемы.

СПИСОК ЛИТЕРАТУРЫ

1. *Ландау Л. Д., Лифшиц Е. М.* Теория поля.— М.: Наука, 1973.

2. Гинзбург В. Л. Теоретическая физика и астрофизика.— М.: Наука, 1981. 3. Клепиков Е. П. // УФН. 1985. Т. 146. С. 317. 4. Moniz E. J., Sharp D. H. // Phys. Rev., Ser. D. 1977. V. 15. P. 2850. 5. Dirac P.A. M. // Proc. Roy. Soc. 1938. V. 167. P. 148.

- Dalibard J., Dupont-Roc J., Cohen-Tannoudji C. // J. de Phys. 1982. Т. 43. Р. 1617.
 Берестецкий В. Б., Лифшиц Е. М., Питаевский Л. П. Квантовая электродинамика.—М.: Наука, 1980.
 Боголюбов Н. Н., Ширков Д. В. Введение в теорию квантовых полей.— М.: Нау-
- ка, 1984.

Статья поступила 31.10.90 г.